

В. Е. ГУЛЬ, В. А. МОНАКОВ, В. А. ОСИПОВ, И. А. ОСТРЯКОВ  
ОБ ЭФФЕКТЕ «МИКРОПРОБОЯ» ПОЛИМЕРОВ С ДИСПЕРСНЫМ  
ЭЛЕКТРОПРОВОДЯЩИМ НАПОЛНИТЕЛЕМ

(Представлено академиком К. А. Андриановым 31 III 1970)

При создании материалов с заранее заданными свойствами<sup>(1)</sup> нередко встает задача повышения электропроводности полимерных материалов. Решение этой задачи для полимерных материалов, содержащих токопроводящие наполнители, достигается различными путями: правильным выбором наполнителя, увеличением его процентного содержания в системе<sup>(2)</sup>, ориентацией частиц наполнителя с помощью магнитного поля<sup>(3-5)</sup> и т. д. Описано также создание коагуляционных цепочечных структур ме-

таллических порошков в жидкых диэлектриках под влиянием постоянного электрического поля<sup>(6, 7)</sup>.

При достижении некоторой определенной величины напряженности электрического поля происходит пробой в одном из образовавшихся «мостиков», частицы металла прочно свариваются, коагуляционная структура переходит в фазовую<sup>(8)</sup> и электропроводность системы в целом резко возрастает за счет одного металлического «мостика» при разрушении остальных структур<sup>(9)</sup>. В твердых телах с дисперсной структурой возможность ориентации частиц наполнителя под действием внешних факторов исключается. В то же время коагуляционная структурная решетка, образующаяся при введении в высокополимер металлического порошка, обладает сравнительно невысокой электрической прочностью (рис. 1). Однако при обычных значениях поля тока электрический пробой сопровождается существенным изменением структуры и свойств полимерного связующего.

Учитывая это, были изучены некоторые закономерности повышения электропроводности металлонасыщенных полимеров с помощью электрического пробоя с использованием слабых токов и большой разности потенциалов. В качестве объекта исследования были

Рис. 1. Влияние концентрации карбонильного железа на электрическую прочность ферро-эпоксидов (смолы ЭД-5, отверженная полизтиленамиами). Измерения проведены по ГОСТ 6433-65,  $f = 400$  Гц

взяты композиции смолы ЭД-5 с различным содержанием карбонильного железа, которые отверждались полизтиленамиами (ПЭПА) и затем подвергались воздействию видеопульсов высокого напряжения с амплитудой до 17–20 кВ. Измерение пиковых значений импульсных напряжений проводили компенсационным методом с помощью импульсного киловольтметра.

Импульсы в виде искровых разрядов подавали в центр образца (в одну точку). Расстояние от точки приложения напряжения до каждого из двух электродов составляло около 1 см. Периодически измеряли общее сопротивление ( $R$ ) образца. Эксперимент проводили при комнатной температуре

ре ( $20^\circ$ ). Учитывая импульсный характер напряжения, можно считать, что в данном эксперименте имела место электрическая форма пробоя ( $^{10}$ ). Была исследована зависимость электрического сопротивления материалов от количества импульсов напряжения при различной концентрации наполнителя. Амплитуда импульсов была постоянной и равной 13,5 кв. Для рецептуры, содержащей 40 вес. ч. карбонильного железа на 100 вес. ч. смолы, после подачи более 1000 импульсов не наблюдали повышения электропро-

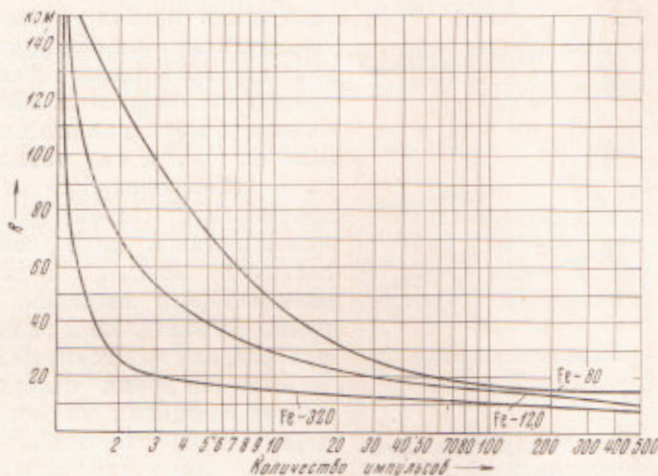


Рис. 2. Зависимость электрического сопротивления ферроэпоксидов от количества импульсов напряжения. Цифры в обозначениях композиций — количество весовых частей карбонильного железа на 100 весовых частей смолы. Амплитуда импульсов 13,5 кв

водности; импульсы проходили в виде скользящих разрядов вдоль поверхности образца к электродам; материал сохранял свойства диэлектрика ( $R = 10^{12}$  ом).

Для рецептуры, содержащей 80 вес. ч. карбонильного железа на 100 вес. ч. смолы, уже после 1—2 импульсов в 50% случаев отмечали снижение общего сопротивления до величины порядка 100—150 ком, после 4—5 импульсов сопротивление падало в 100% случаев. Скользящих разрядов при этом не наблюдалось: импульсы, попадающие на поверхность образца, абсорбировались в его объеме.

Для более высоконаполненных рецептур резкое падение сопротивления наблюдали после 1—2 импульсов в 100% случаев. Степень падения сопротивления увеличивалась с ростом концентрации наполнителя, что особенно заметно для первых 20—30 импульсов. В дальнейшем скорость падения сопротивления снижалась у всех рецептур.

После 200—300 импульсов снижение сопротивления практически прекращалось. Результаты наблюдений представлены на рис. 2. Средняя квадратичная ошибка измерений не превышает 10%. Величина конечного сопротивления образцов  $R$  оказывалась разной в зависимости от величины амплитуды импульса и концентрации наполнителя (см. рис. 3). Эта величина  $R$  устойчиво сохранялась после ударных нагрузок до 10 g, вибрационных нагрузок до 6 g, снятия поверхностного слоя образцов.

При подаче импульсов последовательно в разные точки поверхности образца снижение сопротивления до предельного значения проходило быстрее, величина предельного значения  $R_e$  оказалась меньше, чем при точечной обработке.

Температурный коэффициент сопротивления материалов после обработки положительный. Около  $80^\circ$  происходит быстрый рост  $R_e$  до значений,

характерных для диэлектриков, при охлаждении величина  $\rho_v$  вновь уменьшается.

Механическая прочность образцов (удельная ударная вязкость) после обработки не изменилась. Это свидетельствует о том, что повышение электропроводности не связано с грубыми нарушениями микроструктуры материала, характерными при обычных типах пробоя диэлектриков (11).

По-видимому, не образуется и фазовой структуры наполнителя со свариванием частиц в сплошную металлическую нить, как это имеет место в работах (6, 7, 8), что также повлекло бы за собой снижение механической прочности (12); кроме того, при образовании такой нити сопротивление материала падает скачкообразно до минимального значения, а не постепенно с увеличением количества импульсов, как в описанных случаях.

В то же время необратимый характер снижения сопротивления свидетельствует об особом механизме данного эффекта, который можно характеризовать как микропробой. Имеется в виду электрический пробой тонких пленок (окисных и полимерных), изолирующих частицы металлического наполнителя. По-видимому, канал импульсного пробоя в случае дисперсных структур с токопроводящими наполнителями развивается постепенно, сочетаясь в «слабых местах» с проводимостью за счет туннельного эффекта. Канал, видимо, имеет дендритообразную форму (13) и разветвляется в сторону от точки приложения импульсов напряжения.

Рис. 3. Зависимость электрического сопротивления ферроэпоксидов ( $R$ ) от амплитуды импульсов напряжения ( $U$ ) после подачи 1000 импульсов. Значения цифр у кривых — см. рис. 2.

Такая разветвленная структура каналов микропробоев может рассматриваться как аналог цепочечной электропроводной структуры в полимерных материалах, наполненных ацетиленовой сажей, или в металлонаполненных пластмассах, подвергшихся структурированию в магнитном поле (2).

Обработка металлонаполненных полимерных материалов импульсами напряжения (искровыми разрядами) является новым методом повышения электропроводности материалов, содержащих токопроводящие наполнители.

Московский технологический институт мясной и молочной промышленности

Поступило 16 III 1970

#### ЦИТИРОВАННАЯ ЛИТЕРАТУРА

- <sup>1</sup> П. А. Ребиндер, Физ. мех. матер., 1, № 1, 5 (1965). <sup>2</sup> В. Е. Гуль, Л. Н. Царский и др., Электропроводящие полимерные материалы, М., 1968. <sup>3</sup> В. Е. Гуль, Л. З. Шенфильд, Г. К. Мельникова, Пластич. массы, № 4, 46 (1965). <sup>4</sup> В. Е. Гуль, Л. З. Шенфильд, Г. К. Мельникова, Пластич. массы, № 3, 63 (1966). <sup>5</sup> В. Е. Гуль, М. Г. Голубева, Колл. журн., 29, № 1, 62 (1967). <sup>6</sup> Л. Г. Гиндин, Я. И. Френкель, О. А. Шпанская, Журн. технич. физики, 20, 937 (1950). <sup>7</sup> Л. Г. Гиндин, И. Н. Путилова, Колл. журн., 16, № 5, 325 (1954). <sup>8</sup> П. А. Ребиндер, В сборн. Физико-химическая механика дисперсных структур, «Наука», 1966, стр. 3. <sup>9</sup> Л. Г. Гиндин, А. Е. Вольпян и др., там же, стр. 83. <sup>10</sup> К. С. Степанов, Техника высоких напряжений, Л., 1967, § 3—4. <sup>11</sup> Г. И. Скавини, Физика диэлектриков (область сильных полей), М., 1958. <sup>12</sup> В. Е. Гуль, В. Н. Кулезнев, Структура и механические свойства полимеров, М., 1966. <sup>13</sup> Mitsui N. Togiyama, J. Electr. Eng. Japan, 87, 12, 57 (1967).